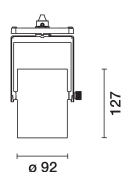
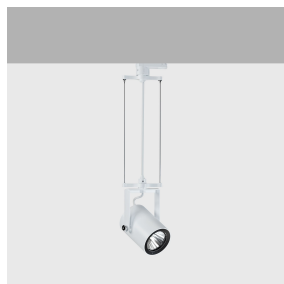


Dernière mise à jour des informations: Février 2025

Configuration du produit: RF76.01

RF76.01: Tecnica Evo suspension - corps Ø92 - DALI - 27.5W 3149lm - 4000K - CRI 90 - Blanc

**Référence produit**

RF76.01: Tecnica Evo suspension - corps Ø92 - DALI - 27.5W 3149lm - 4000K - CRI 90 - Blanc

Description technique

Appareil d'éclairage de type suspension avec adaptateur pour installation sur rail électrique DALI. Source LED à fort indice de rendu de couleur. Corps éclairant en aluminium moulé sous pression. Système optique avec réflecteur en aluminium anti-rayures à hautes performances P.V.D. (Physical Vapour Deposition) permettant d'obtenir un excellent rapport d'efficacité lumineuse. Système de suspension équilibré avec double filin en acier et système de réglage. Fourni avec blocages mécaniques de l'orientation ; les mouvements de rotation et inclinaison peuvent être bloqués afin de garantir une orientation précise de la lumière, même une fois installé et pendant les interventions d'entretien. Unité d'alimentation gradable DALI intégrée. Prêt pour logement des accessoires optiques communs à la gamme Tecnica Evo. La disponibilité de réflecteurs interchangeables accessoires permet de varier l'angle d'émission en fonction des nécessités, même après l'installation initiale.

Installation

Installation sur rail électrique.

Coloris

Blanc (01)

Poids (Kg)

1.46

Montage

rail dali

Câblage

Alimentation gradable DALI intégrée.

Conforme à la norme EN60598-1 et à la réglementation en vigueur (o 'à la réglementation relative')



IP20

IP40

Pour le montage
optique**Données techniques**

Im du système:	3149	IRC (minimum):	90
W du système:	27.5	Température de couleur [K]:	4000
Im source:	3350	MacAdam Step:	2
W source:	24	Durée de vie LED 1:	> 50,000h - L90 - B10 (Ta 25°C)
Efficacité lumineuse (lm/W, valeurs du système):	114.5	Code Lampe:	LED
Im en mode secours:	-	Nombre de lampes par groupe optique:	1
Flux total émis à un angle de 90° ou plus [Lm]:	0	Code ZVEI:	LED
Light Output Ratio (L.O.R.) [%]:	94	Nombre de groupes optiques:	1
Angle d'ouverture [°]:	56°	Control:	DALI-2

Polaire

<p>Imax=4121 cd C0-180 90° 180° 90° 4000 0° α=56°</p>	<p>CIE nL 0.94 98-100-100-100-94 UGR 19.1-17.4 DIN A.61 UTE 0.94A+0.00T F*1=980 F*1+F*2=999 F*1+F*2+F*3=1000 CIBSE LG3 L<3000 cd/m² at 65°</p>	<p>Lux</p> <table><tr><th>h</th><th>d1</th><th>d2</th><th>Em</th><th>Emax</th></tr><tr><td>2</td><td>2.1</td><td>2.1</td><td>827</td><td>1030</td></tr><tr><td>4</td><td>4.3</td><td>4.3</td><td>207</td><td>257</td></tr><tr><td>6</td><td>6.4</td><td>6.4</td><td>92</td><td>114</td></tr><tr><td>8</td><td>8.5</td><td>8.5</td><td>52</td><td>64</td></tr></table>	h	d1	d2	Em	Emax	2	2.1	2.1	827	1030	4	4.3	4.3	207	257	6	6.4	6.4	92	114	8	8.5	8.5	52	64
h	d1	d2	Em	Emax																							
2	2.1	2.1	827	1030																							
4	4.3	4.3	207	257																							
6	6.4	6.4	92	114																							
8	8.5	8.5	52	64																							

Coefficients d'utilisation

R	77	75	73	71	55	53	33	00	DRR
K0.8	84	80	76	74	79	76	75	72	77
1.0	88	84	81	79	83	80	80	77	82
1.5	93	89	87	85	88	86	85	83	88
2.0	95	93	91	90	92	90	89	87	92
2.5	97	96	94	93	94	93	92	89	95
3.0	99	97	96	95	96	95	94	91	97
4.0	100	99	98	97	97	97	95	93	99
5.0	100	100	99	99	98	98	96	94	100

Courbe limite de luminance

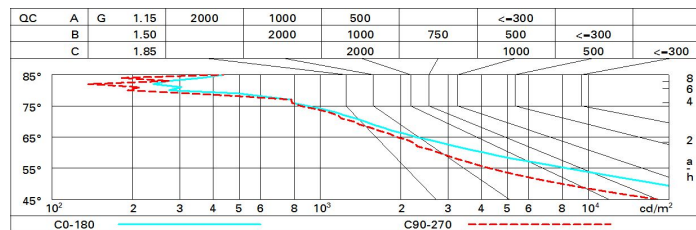


Diagramme UGR

Corrected UGR values (at 3350 lm bare lamp luminous flux)											
Reflect.: ceiling/cav walls work pl. Room dim x y		0.70	0.70	0.50	0.50	0.30	0.70	0.70	0.50	0.50	0.30
		0.50	0.30	0.50	0.30	0.30	0.50	0.30	0.50	0.30	0.30
		0.20	0.20	0.20	0.20	0.20	0.20	0.20	0.20	0.20	0.20
		viewed crosswise					viewed endwise				
2H	2H	19.7	20.3	20.0	20.5	20.7	17.9	18.5	18.2	18.8	19.0
	3H	19.6	20.1	19.9	20.4	20.6	17.8	18.3	18.1	18.6	18.9
	4H	19.5	20.0	19.8	20.3	20.6	17.7	18.2	18.1	18.5	18.8
	6H	19.4	19.9	19.8	20.2	20.5	17.7	18.1	18.0	18.4	18.8
	8H	19.4	19.8	19.7	20.1	20.5	17.6	18.1	18.0	18.4	18.7
	12H	19.3	19.7	19.7	20.1	20.4	17.6	18.0	18.0	18.3	18.7
4H	2H	19.5	20.0	19.8	20.3	20.6	17.7	18.2	18.1	18.5	18.8
	3H	19.3	19.8	19.7	20.1	20.4	17.6	18.0	18.0	18.4	18.7
	4H	19.2	19.6	19.6	20.0	20.4	17.5	17.9	17.9	18.2	18.6
	6H	19.2	19.5	19.6	19.9	20.3	17.4	17.7	17.8	18.1	18.6
	8H	19.1	19.4	19.5	19.8	20.3	17.4	17.7	17.8	18.1	18.5
	12H	19.1	19.3	19.5	19.8	20.2	17.3	17.6	17.8	18.0	18.5
8H	4H	19.1	19.4	19.5	19.8	20.3	17.4	17.7	17.8	18.1	18.5
	6H	19.0	19.3	19.5	19.7	20.2	17.3	17.5	17.7	18.0	18.4
	8H	19.0	19.2	19.4	19.6	20.1	17.2	17.4	17.7	17.9	18.4
	12H	18.9	19.1	19.4	19.6	20.1	17.2	17.4	17.7	17.8	18.4
12H	4H	19.1	19.3	19.5	19.8	20.2	17.3	17.6	17.8	18.0	18.5
	6H	19.0	19.2	19.4	19.6	20.1	17.2	17.4	17.7	17.9	18.4
	8H	18.9	19.1	19.4	19.6	20.1	17.2	17.4	17.7	17.8	18.4
Variations with the observer position at spacing:											
S =	1.0H	5.6 / -12.7					5.8 / -14.2				
	1.5H	8.4 / -17.1					8.6 / -16.7				
	2.0H	10.4 / -19.3					10.6 / -18.3				